

## ОБЪЕМНЫЕ СВОЙСТВА, ФАЗОВЫЙ СОСТАВ И СТРУКТУРА СПЛАВОВ НА ОСНОВЕ НИКЕЛИДА ТИТАНА ПОД ДЕЙСТВИЕМ ГИДРОСТАТИЧЕСКОГО ДАВЛЕНИЯ

А.И.Лотков, В.Н.Гришков, В.П.Лапшин

*Институт физики прочности и материаловедения СО РАН  
634021, г.Томск, пр. Академический, 2\1  
E-mail: ispms@ispms.tomsk.su*

Исследовано влияние высоких гидростатических давлений до 8 ГПа при температуре 298 К на барические зависимости объема и объемного модуля упругости В2-фазы монокристаллов сплава  $Ti_{50}Ni_{48}Fe_2$ , на фазовый состав и структуру сплава  $Ti_{49,5}Ni_{50,5}$ . Показано, что сплавы претерпевают мартенситное превращение в R-фазу с незначительными объемными изменениями при  $\approx 4$  ГПа. Предложена и апробирована на сплаве  $Ti_{49,5}Ni_{50,5}$  схема получения при атмосферном давлении требуемого фазового состава в образцах сплавов на основе никелида титана путем их обработки высокими давлениями.

Общепризнанна перспективность материалов, обладающих эффектом памяти формы (ЭПФ), при использовании их в качестве новых конструкционных и функциональных материалов в отраслях экономики, функционирование которых сопряжено, с одной стороны, с высокими давлениями, температурами и механическими нагрузками, разрушающими агрессивными средами, а с другой – с необходимостью разработки и создания приборов и устройств, обеспечивающих эффективный контроль, управление, автоматизацию и экологическую безопасность установок и процессов, действующих в экстремальных условиях.

В основе ЭПФ лежат мартенситные превращения (МП), которые испытывают сплавы, – в частности, на основе никелида титана, – в некоторой области давлений, температур и концентраций компонентов. Поэтому, наряду с хорошо изученным ЭПФ в зависимости от температуры и внешних напряжений, к настоящему времени открыт и бароупругий эффект памяти формы [1].

Физической причиной, ответственной за МП в сплавах, является, как известно [2], снижение устойчивости высокотемпературной (аустенитной) фазы при уменьшении температуры и/или увеличении давления по отношению к сдвигу, что сопровождается аномальным поведением многих физико-механических свойств. Среди них наиболее значимыми для развития представлений о физической природе фазовых превращений и практического использования материалов с ЭПФ являются упругие свойства, которые, вместе с частотами фоновых спектров, входят в критерии механической устойчивости кристаллической решетки сплавов.

До наших работ все исследования упругих свойств кристаллической решетки сплавов на основе никелида титана были проведены лишь при нормальном давлении [3, 4]. Было показано, что все сдвиговые и продольные упругие модули высокотемпературной  $\beta$ (В2)-фазы в поли- и монокристаллических сплавах на основе  $TiNi$  имеют аномальную температурную зависимость как перед  $\beta \rightarrow R$ , так и перед  $\beta \rightarrow V19'$  превращением. Здесь  $R$  – ромбоэдрическая мартенситная фаза и  $V19'$  – моноклинная фаза. Обнаружено так-

же, что накануне  $\beta \rightarrow R$  и  $\beta \rightarrow R \rightarrow B19'$  превращений кристаллическая решетка указанных сплавов близка к упругоизотропной и становится "мягкой" во всех основных кристаллографических системах.

Нами проведен цикл исследований [5-9] по влиянию высоких гидростатических давлений  $P = (0 \dots 8)$  ГПа при температуре  $T = 298$  К на упругие свойства B2-фазы монокристаллических сплавов  $Ti_{50}Ni_{50-x}Fe_x$  ( $X = 2, 5, 10, 15$  ат.%). Измерение проводили ультразвуковым импульсно-фазовым методом на частотах 3 и 5 МГц. Установлено, что в сплаве  $Ti_{50}Ni_{48}Fe_2$  аномальную зависимость от давления перед B2  $\rightarrow R$  превращением показывает только модуль упругости  $C' = 1/2(C_{11} - C_{12})$ ; сдвиговой модуль  $C_{44}$  и специальный модуль упругости

$$C_s = C' + [(C_{44} - C') \sin^2 \Theta_s] / 2,$$

где  $\Theta_s = \sin^{-1} [2(C_{11} + C_{12}) / (3C_{11} + 5C_{12} + 2C_{44})]^{1/2}$ , перед этим превращением изменяются по кривой с максимумом. Все измеренные продольные модули упругости перед B2  $\rightarrow R$  превращением имеют нормальную зависимость от давления. В сплаве  $Ti_{50}Ni_{45}Fe_5$  барические зависимости всех измеренных упругих модулей в исследованной области давления (0 ... 1,8) ГПа имеют такую же тенденцию, как и в сплаве  $Ti_{50}Ni_{48}Fe_2$  перед превращением B2  $\rightarrow R$ . Таким образом, видно, что обнаруженное поведение упругих модулей в B2-фазе исследованных сплавов в зависимости от давления перед B2  $\rightarrow R$  превращением принципиально отличается от их поведения в B2-фазе этих сплавов в зависимости от температуры.

Настоящая работа посвящена изучению объемных свойств, фазовому составу и структуре сплавов  $Ti_{50}Ni_{48}Fe_2$  и  $Ti_{49,5}Ni_{50,5}$  - другому кругу вопросов, важных для понимания физической природы сплавов, испытывающих мартенситные превращения при изменении давления.

Указанные сплавы приготовлены из высокочистых исходных компонентов (иодидный титан; электролитический никель марки Н-0; железо, очищенное в водороде). Способ приготовления сплава  $Ti_{50}Ni_{48}Fe_2$ , монокристаллических образцов и режим их термомеханической обработки, а также методики измерения температур мартенситных превращений и объемных свойств в условиях воздействия гидростатического давления, описаны ранее [6-7]. Поликристаллический сплав  $Ti_{49,5}Ni_{50,5}$  использовался только для изучения фазового состава и структуры после обработки высокими гидростатическими давлениями. Из слитка электроискровым способом вырезали квадратные образцы со стороной 10 мм и толщиной 1 мм, которые, для снятия механических напряжений, отжигали при температуре 1073 К в течение 1 часа при остаточном давлении  $P < 10^{-3}$  Па и закаливали в воду комнатной температуры. До и после термообработки образцы химически чистили в растворе  $3HNO_3 + 1HF + 1H_2O$ . Барообработку образцов осуществляли при давлениях 1.2, 2.5, 4.0, 5.0, 7.0, 8.2 ГПа по схеме "гидростатическое нагружение от  $P = 0$  до требуемого значения давления - выдержка 10 мин. - разгрузка". На каждую ступень давления использовали несколько образцов, не участвовавших ранее в эксперименте.

На рис. 1 представлены приведенные экспериментальные зависимости  $V(P)$  и изотермического объемного модуля упругости  $B_T(P) \equiv B(P)$  (точки) в интервале давлений (0 ... 8) ГПа. Кривые 1, 3 и 4 - соответствующие зависимости, рассчитанные по универсальному уравнению состояния [10,11]:

$$P(X) = \frac{3B_0(T_0)}{X^2} (1 - X) \exp[\eta_0(T_0)(1 - X)]; \quad (1)$$

$$B(X) = \frac{B_0(T_0)}{X^2} \left\{ 2 + [\eta_0(T_0) - 1]X - \eta_0(T_0)X^2 \right\} \exp[\eta_0(T_0)(1 - X)]. \quad (2)$$

Здесь  $X = (V/V_0)^{1/3}$ ;  $\eta_0(T_0) = \frac{3}{2} \left\{ \left( \frac{\partial B}{\partial P} \right)_0(T_0) - 1 \right\}$  – параметр ангармонизма. Значок "0" обозначает опорную величину:  $P_0 = 10^{-4}$  ГПа – атмосферное давление,  $T_0 = 300$  К;  $B_0(T_0) = 146,1$  ГПа и  $(\partial B/\partial P)_0(T_0) = 4,33$  для интервала (0 ... 5,4) ГПа (кривая 3);  $B_0(T_0) = 157,9$  ГПа и  $(\partial B/\partial P)_0(T_0) = 2,22$  для интервала (5,4 ... 8) ГПа (кривая 4).

Из рис.1 видно, что объемный модуль упругости сплава  $B(P) = -V(\partial P/\partial V)_T$  линейно увеличивается с ростом давления. Однако, начиная с 4 ГПа,  $B(P)$  отклоняется от линейной зависимости, что, по нашему мнению, свидетельствует об изменениях в структуре сплава, которые, накапливаясь, приводят к появлению излома на кривой  $B(P)$  при  $P = 5,4$  ГПа (показан вертикальной стрелкой). Можно предполагать, что указанные структурные изменения являются результатом мартенситного превращения  $B2 \rightarrow R$ . Обоснования такому предположению состоят в следующем.

В исследуемом сплаве температура начала  $B2 \rightarrow R$  ( $T_R$ ) составляет 281 К при атмосферном давлении. Известно [3], что  $T_R$  совпадает с минимумом на кривой  $C(T)$ , в то время как минимум  $C_{44}(T)$  находится при  $T < T_R$ . Аналогично этому, но уже при повышении давления,  $C(P)$  имеет минимум при  $P = 4$  ГПа, а минимум  $C_{44}(P)$  приходится на  $P = 5,4$  ГПа [7]. Такое поведение барических зависимостей упругих постоянных и имеющиеся данные, что в сплаве близкого состава ( $Ti_{50}Ni_{47}Fe_3$ )  $dT_R/dP = +4,5$  К/ГПа [12], позволяют нам предположить, что в нашем сплаве превращение  $B2 \rightarrow R$  наступает в окрестности  $P \approx 4 - 5,4$  ГПа при температуре исследования 298 К.

Известно также [3], что превращение  $B2 \rightarrow R$  сопровождается малой величиной объемного эффекта, который составляет  $\approx 0,4$  %. Этим можно объяснить, по-видимому, и тот факт, что экспериментальные зависимости  $V(P)$ ,  $B(P)$  и соответствующие им расчетные по универсальному уравнению состояния хорошо совпадают друг с другом во всем диапазоне давлений (0 ... 8) ГПа (рис.1). В то же время теоретические зависимости  $V(P)$  и  $B(P)$ , поскольку они не предназначены для описания каких-либо фазовых превращений, не "чувствуют" происходящих изменений в сплаве (рис.1). Структурные изменения, происходящие в сплаве  $Ti_{50}Ni_{48}Fe_2$  под действием давления выше 4 ГПа в результате  $B2 \rightarrow R$  превращения, можно было бы наблюдать прямыми методами непосредственно при наложенном на образец давлении. Однако мы не имели соответствующей аппаратуры и поэтому были лишены возможности провести прямые наблюдения. Поэтому нами была разработана и применена схема проведения эксперимента, суть которой состоит в следующем. Для того, чтобы зафиксировать R-фазу высокого давления при  $P = 0$ , мы воспользовались, во-первых, гистерезисным характером МП

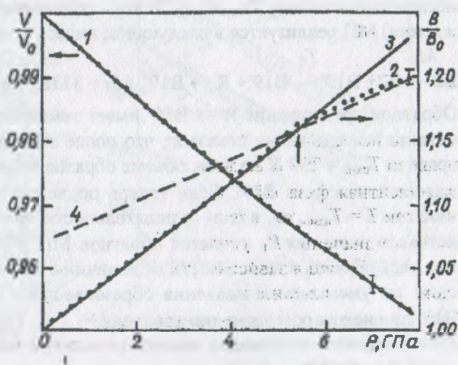
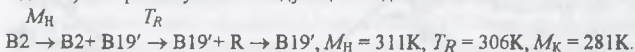


Рис.1 Зависимости нормированных значений объема  $V$  и объемного модуля упругости  $B$  от давления в сплаве  $Ti_{50}Ni_{48}Fe_2$ ; точки – эксперимент, линии – расчет по универсальному уравнению состояния

$R \leftrightarrow B19'$ , и, во-вторых, тем, что, согласно [12], в сплаве  $Ti_{50}Ni_{47}Fe_3$   $dT_R/dP = +4,5$  К/ГПа,  $dM_H/dP = -17$  К/ГПа,  $dA_H/dP \approx dM_H/dP \approx dM_K/dP$ . Здесь  $M_H(M_K)$  – температура начала(конца) МП  $R \rightarrow B19'$ ,  $A_H(A_K)$  – температура начала(конца) обратного превращения  $B19' \rightarrow R$ . Тогда, выбрав сплав с соответствующими  $M_H$ ,  $A_H$  и  $M_K$  так, чтобы температура исследования,  $T_{изм.}$ , удовлетворяла условию  $M_K < T_{изм.} < A_H$  и полагая справедливыми значения вышеприведенных производных для выбранного сплава (их абсолютные значения различаются по различным источникам [12, 13]), можно надеяться получить R-фазу при изотермическом повышении давления и обратного МП  $B19' \rightarrow R$ , которая останется и после снятия давления до  $P = 0$  и прямого МП  $R \rightarrow B19'$ .

Описанная схема становится вполне понятной, если обратиться к выбранному для исследования сплаву  $Ti_{49,5}Ni_{50,5}$ . В этом сплаве последовательность прямых (при охлаждении) МП реализуется в следующем виде:



Обратное превращение  $R \rightarrow B19'$  имеет температуры  $A_H = 317$  К,  $A_K = 340$  К. Рентгеновские исследования показали, что после охлаждения ниже  $M_K$  и последующего отогрева до  $T_{изм.} = 293$  К во всем объеме образца исследуемого сплава присутствует только мартенситная фаза  $B19'$ . Если теперь подвергнуть образец гидростатическому давлению при  $T = T_{изм.}$ , то, в силу отрицательности производной  $dA_H/dP$ , при достижении некоторого значения  $P_1$  начнется обратное МП  $B19' \rightarrow R$ , которое охватит часть объема или весь образец в зависимости от величины приложенного давления. При изотермическом же уменьшении давления образовавшаяся R-фаза начнет превращаться в фазу  $B19'$  при некотором значении давления  $P_2 < P_1$ . Однако здесь важно заметить, что и при  $P = 0$  останется в образцах некоторое количество R-фазы высокого давления, так как полностью МП  $R \rightarrow B19'$  может завершиться лишь при отрицательном давлении (опять же в силу отрицательности  $dM_K/dP$  и тому обстоятельству, что  $M_K < T_{изм.}$ ).

В реальном эксперименте исследования фазового состава образцов после обработки гидростатическим давлением в интервале (0 ... 4) ГПа показали, что после снятия давления в них наблюдается только мартенситная фаза  $B19'$ , как и в исходном состоянии (рис. 2, а). Появление незначительного количества ( $\approx 3\%$ ) R-мартенсита после обработки давлением 2,5 ГПа (рис. 3), обусловлено, по-видимому, локальными искажениями вблизи накопленных под действием давления различного типа дефектов кристаллического

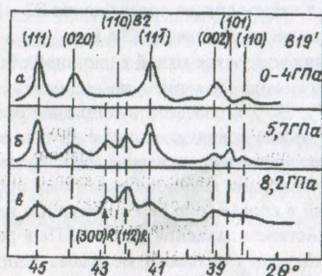


Рис. 2. Фазовый состав образцов сплава  $Ti_{49,5}Ni_{50,5}$  после обработки гидростатическим давлением до 4,0 ГПа (а); 5,7 ГПа (б) и 8,2 ГПа (в).

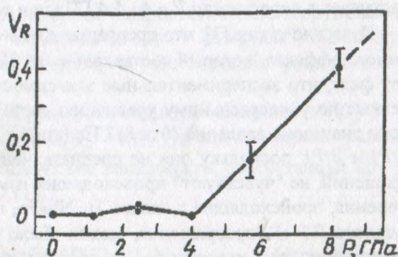


Рис. 3. Объемная доля R-фазы в образцах сплава  $Ti_{49,5}Ni_{50,5}$  в зависимости от обработки гидростатическим давлением.

строения В19'-фазы. При нагреве образцов до 310-315 К полученный таким образом R-мартенсит бесследно исчезает.

Наиболее значительные изменения фазового состава образцов наблюдали после обработки давлениями 5,0, 7,0 и 8,2 ГПа (рис.2,б,в). На дифрактограммах этих образцов появляется хорошо видимый дублет R-мартенсита, пиковая и интегральная интенсивность которого (рис.2) и, следовательно, объемная доля R-фазы (рис.3) возрастают при увеличении давления. После декомпрессии от 8,2 ГПа объемная доля R-мартенсита равна  $0,4 \pm 0,05$ . Это заметно больше, чем при охлаждении от  $M_H$  до  $T = 293$  К при атмосферном давлении, (0,1 - 0,15).

Результаты позволяют оценить, что  $(dA_H/dP)_{293K} \approx -(6 \pm 0,5)$  К/ГПа для того объема образцов, который испытывает МП В19' → R непосредственно вблизи 4 ГПа. Используя это значение и полагая, что  $(dA_H/dP)_{293K} \approx (dA_K/dP)_{293K} \approx (dM_K/dP)_{293K}$  (на том же основании, что и для сплавов Ti(Ni, Fe)) построена T-P диаграмма МП в сплаве Ti<sub>49,5</sub>Ni<sub>50,5</sub> (рис.4). Из рис.4 видно, что основной объем образцов должен превратиться в R-мартенсит в интервале давлений (7 ... 8,5) ГПа. Кроме того, двухфазный состав сплава после обработки давлением выше 4 ГПа (рис.2,б,в) указывает на то, что при снятии давления происходит частичное превращение R → В19'.

Таким образом, полученные данные убедительно демонстрируют, что предложенная схема наблюдения R-фазы высокого давления в сплавах на основе TiNi при атмосферном давлении полностью подтверждается. Отсюда ясно, что сплав Ti<sub>50</sub>Ni<sub>48</sub>Fe<sub>2</sub> действительно претерпевает МП В2 → R при достижении давления 4 ГПа и  $T = 298$  К, поскольку для этого сплава  $T_R = 281$ К, а  $dT_R/dP = +4,5$  К/ГПа. При изотермическом же снятии давления образовавшаяся R-фаза не наблюдается при  $P = 0$  вследствие узкого гистерезиса МП В2 ↔ R и незначительных объемных изменений, сопровождающих это превращение.

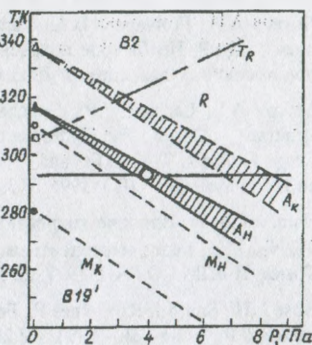


Рис.4. Вариант T-P диаграммы мартенситных превращений в сплаве Ti<sub>49,5</sub>Ni<sub>50,5</sub>

### Список литературы

1. Лихачев В.А., Малинин В.Г., Овчаренко С.Я. Эффекты памяти формы, инициируемые всесторонним давлением / В сб.: Физ.прочн. и пластичн. мет. и сплавов. Тез. докл. 13 Межд. конф., [Самара], 28 июня - 2 июля, 1992. Самара, 1992. С. 229.
2. Кауфман Л., Козн М. Термодинамика и кинетика мартенситных превращений // Т.4. М.: Металлургиздат, 1961. С.192 - 289.
3. Лотков А.И. Структурные и фазовые превращения в сплавах на основе никелида титана. Автореф. дисс. ...доктора физ.-мат. наук. Томск: СФТИ при ТГУ, 1991.

4. Никелид титана: Структура и свойства / В.Н.Хачин, В.Г.Пушин, В.В.Кондратьев. - М.: Наука, 1992. 160 с.
5. Лотков А.И., Гончарова В.А., Лапшин В.П., Гришков В.Н., Подлевских М.Н. Влияние гидростатического давления на упругие постоянные В2 - фазы сплава  $Ti_{50}Ni_{48}Fe_2$  с эффектом памяти формы // Доклады РАН. 1993. Т.330, № 2. С. 191 - 193.
6. Лотков А.И., Гончарова В.А., Лапшин В.П., Гришков В.Н., Подлевских М.Н. Упругие свойства монокристаллического  $Ti_{50}Ni_{48}Fe_2$  под давлением // ФТТ. 1993. Т.35, Вып. 11. С. 2885 - 2890.
7. Лотков А.И., Гончарова В.А., Лапшин В.П., Чернышева Е.В., Гришков В.Н., Дмитриев Дм.Р. Необычное поведение упругих свойств В2 - фазы сплава  $Ti_{50}Ni_{48}Fe_2$  при высоких давлениях // Доклады РАН. 1995. Т.343, № 2. С. 187 - 190.
8. Lotkov A.I., Lapshin V.P., Goncharova V.A., Chernysheva H.V., Grishkov V.N. and Dmitriev Dm. R. The Hydrostatic Pressure Effect on Elastic Properties of B2 - Phase Single Crystals  $Ti_{50}Ni_{48}Fe_2$  and  $Ti_{50}Ni_{45}Fe_5$  Alloys // J. de Physique IV ( Col. C8, Suppl. au J. de Physique III ). 1995. V.5. P. C8-729 - C8-734.
9. Лапшин В. П. Влияние гидростатического давления на упругие свойства сплавов  $Ti_{50}Ni_{50-x}Fe_x$  перед мартенситным превращением В2→R. Автореф. дисс. ... к.ф.м.н. Томск: ИФПМ СО РАН, 1997. 22 с.
10. Rose J. H., Smith J. R., Guinea F., Ferrante J. Universal features of the equation of state of metals // Phys. Rev. B. - 1984. - V.29. - N.6. - P.2963 - 2969.
11. Vinet P., Smith J.R., Ferrante J., Rose J.H. Temperature effects on the universal equation of state of solids // Phys. Rev. B. - 1987. - V.35. - N.4. - P.1945 - 1953.
12. Закревский И.Г., Кокорин В.В., Черненко В.А., Качалов В.М. Мартенситные превращения в интерметаллиде  $Ti_{50}Ni_{47}Fe_3$  при высоких давлениях // Металлофизика. - 1987. - Т.9. - №1. - С.107 - 109.
13. Chernenko V.A. High Pressure Effects on the Martensitic Transformations // J. de Physique IV, Suppl. III. - 1995. - V.5. - P.C8-77 - C8-82.

318396

Библиотека ВГТУ

